

# Iterative Bildrekonstruktion

Prof. Dr. Marc Kachelrieß

Deutsches Krebsforschungszentrum (DKFZ)

Heidelberg, Germany

[www.dkfz.de](http://www.dkfz.de)



DEUTSCHES  
KREBSFORSCHUNGSZENTRUM  
IN DER HELMHOLTZ-GEMEINSCHAFT

$$x^2 = y$$

$$~~x = \sqrt{y}~~$$

**Modell**

$$(x_n + \Delta x_n)^2 = y$$

$$x_n^2 + 2x_n\Delta x_n + \cancel{\Delta x_n^2} = y$$

$$x_n^2 + 2x_n\Delta x_n \approx y$$

$$\Delta x_n = \frac{1}{2}(y - x_n^2)/x_n$$

$$x_{n+1} = x_n + \Delta x_n$$

**Update-  
gleichung**

# Einfluss Updategleichung und Modell

$$\underline{0.5 (3 - x_n^2) / x_n}$$

$$x_0 = 1.$$

$$x_1 = 2.$$

$$x_2 = 1.75$$

$$x_3 = 1.73214$$

$$x_4 = 1.73205$$

$$x_5 = 1.73205$$

$$x_6 = 1.73205$$

$$x_7 = 1.73205$$

$$x_8 = 1.73205$$

$$\underline{0.4 (3 - x_n^2) / x_n}$$

$$x_0 = 1.$$

$$x_1 = 1.8$$

$$x_2 = 1.74667$$

$$x_3 = 1.73502$$

$$x_4 = 1.73265$$

$$x_5 = 1.73217$$

$$x_6 = 1.73207$$

$$x_7 = 1.73206$$

$$x_8 = 1.73205$$

$$\underline{0.5 (3 - x_n^{2.1}) / x_n}$$

$$x_0 = 1.$$

$$x_1 = 2.$$

$$x_2 = 1.67823$$

$$x_3 = 1.68833$$

$$x_4 = 1.68723$$

$$x_5 = 1.68734$$

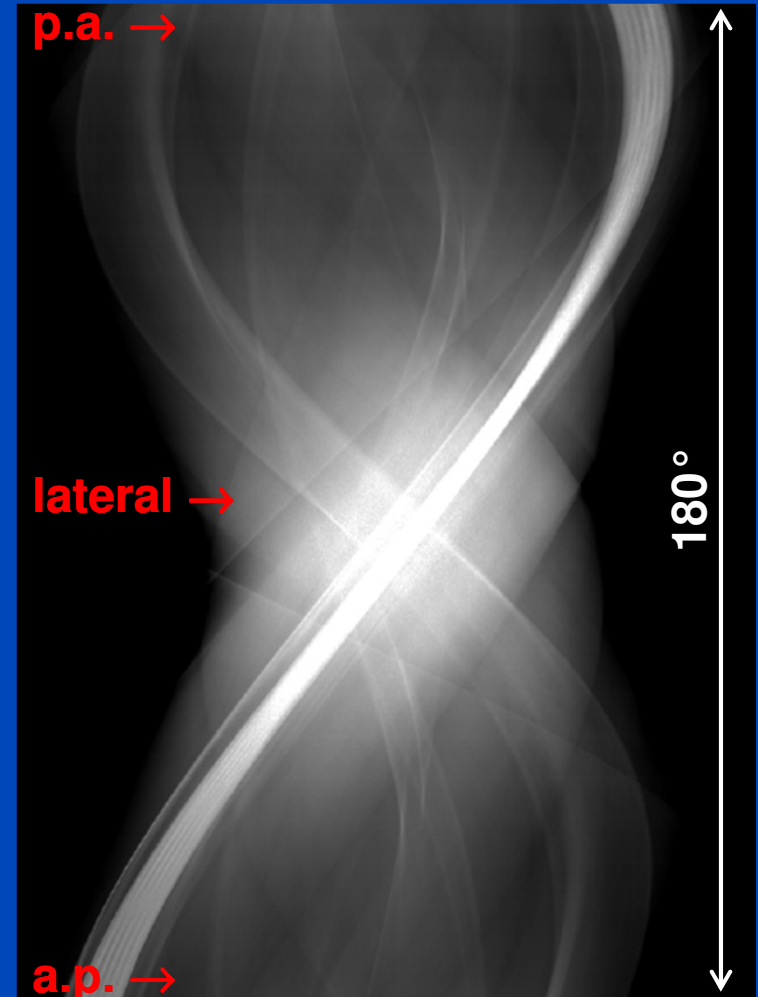
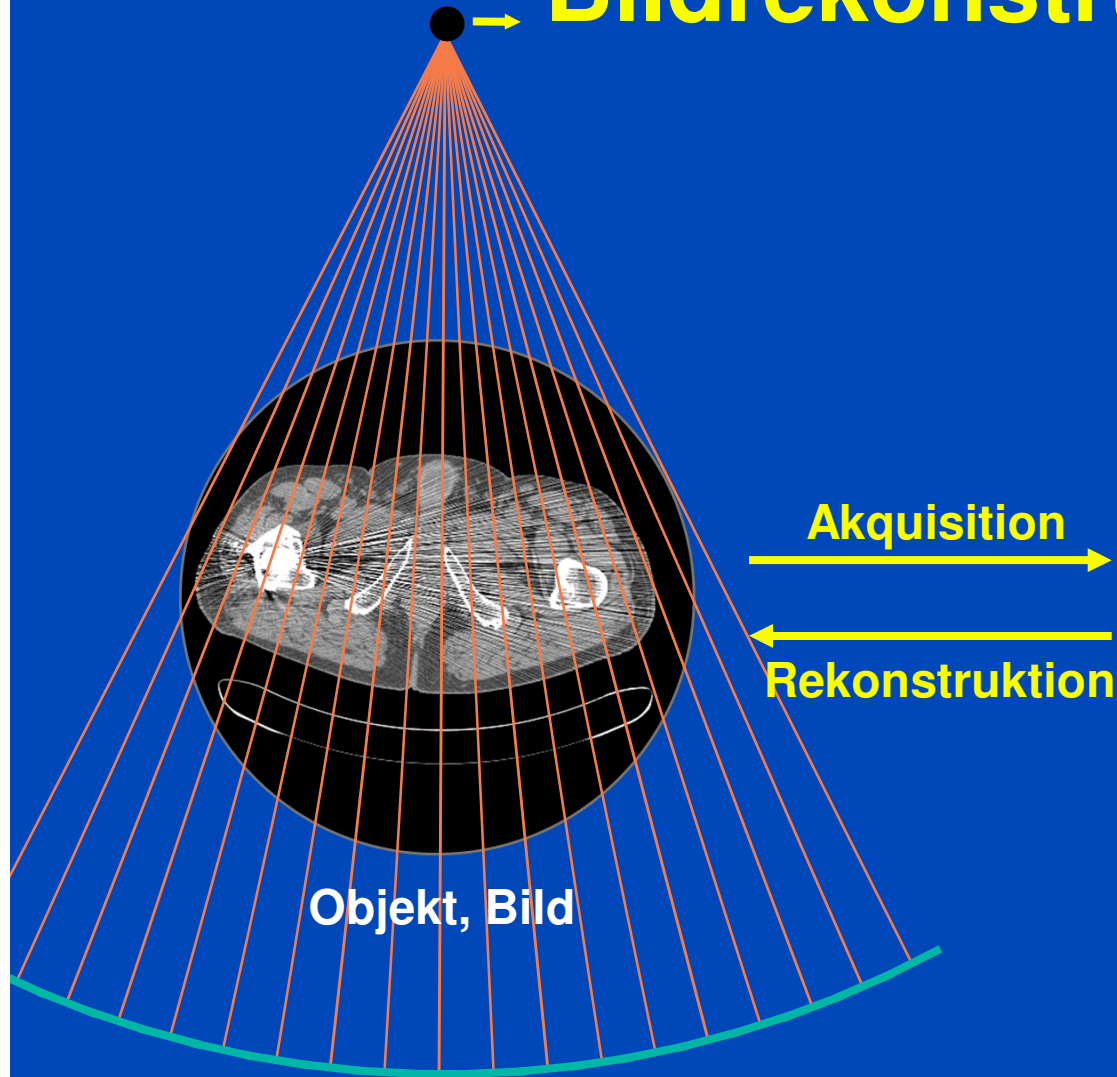
$$x_6 = 1.68733$$

$$x_7 = 1.68733$$

$$x_8 = 1.68733$$

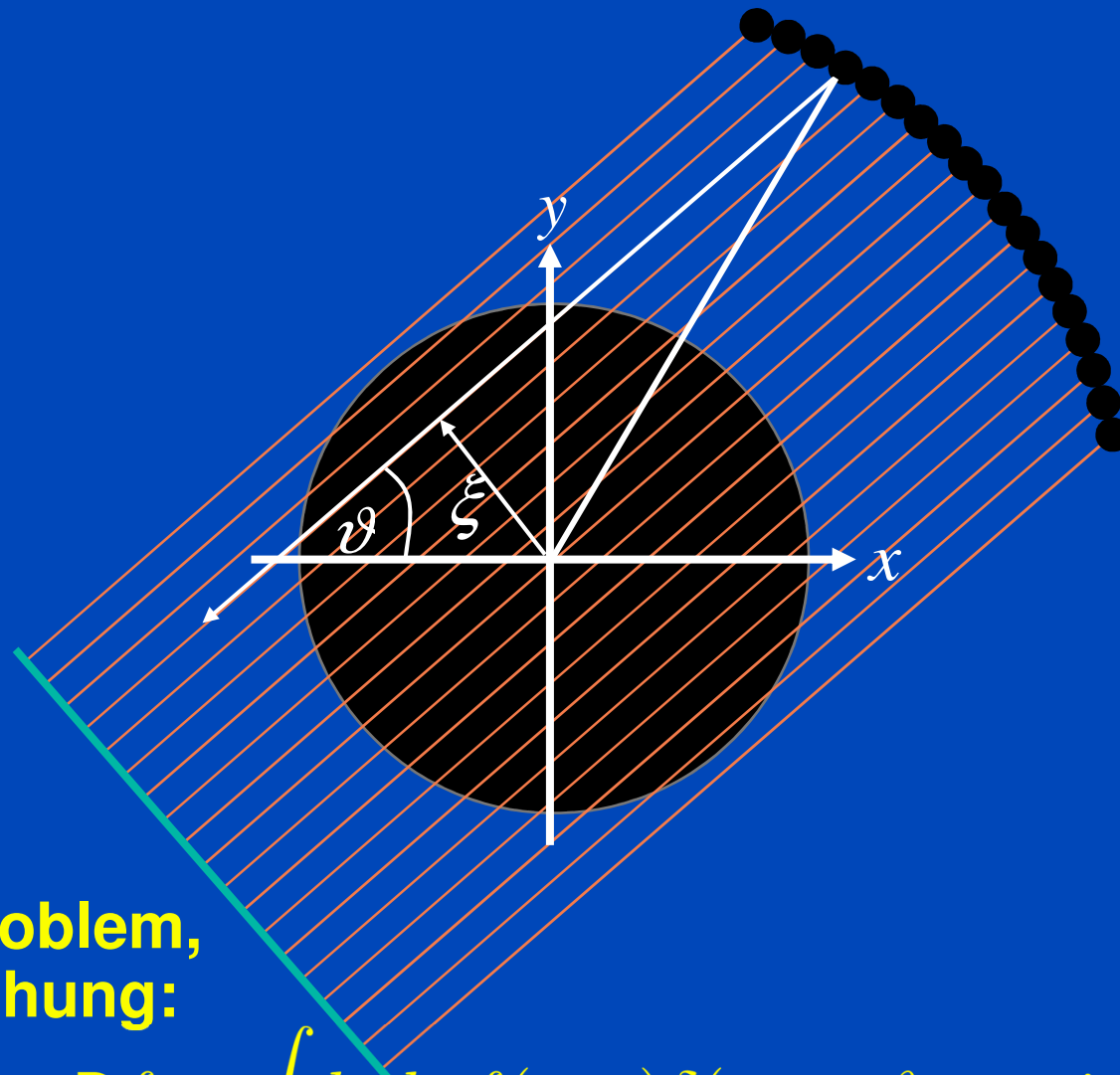
$$x^2 = 3, \quad x_0 = 1, \quad x_{n+1} = x_n + \Delta x_n$$

# Bildrekonstruktion



Sinogramm, Rohdaten

# Parallelstrahlgeometrie



**Messung,  
Ausgangsproblem,  
Integralgleichung:**

$$p(\vartheta, \xi) = \mathbb{R}f = \int dx dy f(x, y) \delta(x \cos \vartheta + y \sin \vartheta - \xi)$$

# Gefilterte Rückprojektion (FBP)

**Messung:** 
$$p(\vartheta, \xi) = \int dx dy f(x, y) \delta(x \cos \vartheta + y \sin \vartheta - \xi)$$

**Fouriertransformation:**

$$\int d\xi p(\vartheta, \xi) e^{-2\pi i \xi u} = \int dx dy f(x, y) e^{-2\pi i u (x \cos \vartheta + y \sin \vartheta)}$$

**Das ist das Zentralschnitttheorem:**  $P(\vartheta, u) = F(u \cos \vartheta, u \sin \vartheta)$

**Inversion:** 
$$f(x, y) = \int_0^\pi d\vartheta \int_{-\infty}^{\infty} du |u| P(\vartheta, u) e^{2\pi i u (x \cos \vartheta + y \sin \vartheta)}$$

$$= \int_0^\pi d\vartheta p(\vartheta, \xi) * k(\xi) \Big|_{\xi = x \cos \vartheta + y \sin \vartheta}$$

## Analytische Rekonstruktion

1. Problem  $p(\vartheta, \xi) = \int dx dy f(x, y) \delta(x \cos \vartheta + y \sin \vartheta - \xi)$
2. Lösungsformel  $f(x, y) = \int_0^\pi d\vartheta p(\vartheta, \xi) * k(\xi) \Big|_{\xi=x \cos \vartheta + y \sin \vartheta}$
3. Diskretisierung  $f = R^T \cdot K \cdot p = R^T \cdot (k * p)$

---

## Klassische iterative Rekonstruktion

1. Problem  $p(\vartheta, \xi) = \int dx dy f(x, y) \delta(x \cos \vartheta + y \sin \vartheta - \xi)$
2. Diskretisierung  $p = R \cdot f$
3. Lösungsformel  $f_{\nu+1} = f_\nu + R^T \cdot \frac{p - R \cdot f_\nu}{R^2 \cdot 1}$

# Linear System and CT System Matrix

$$\underbrace{R}_{\text{Radon or x-ray transform}} \cdot \underbrace{f}_{\text{image to be reconstructed}} = \underbrace{p}_{\text{measured rawdata}}$$

$$R = \begin{pmatrix} r_{11} & r_{12} & \dots & r_{1M} \\ r_{21} & r_{22} & \dots & r_{2M} \\ \vdots & \vdots & \ddots & \vdots \\ r_{N1} & r_{N2} & \dots & r_{NM} \end{pmatrix}, f = \begin{pmatrix} f_1 \\ f_2 \\ \vdots \\ f_M \end{pmatrix}, p = \begin{pmatrix} p_1 \\ p_2 \\ \vdots \\ p_N \end{pmatrix}$$



# Kaczmarz's Method

$$\underbrace{R}_{N \times M} \cdot \underbrace{f}_{M \times 1} = \underbrace{p}_{N \times 1}$$

$$R = \begin{pmatrix} r_1 \\ r_2 \\ \vdots \\ r_N \end{pmatrix}, \quad |r_n| = 1$$

$$r_n \cdot f = p_n$$

## Kaczmarz's Method (2)

- Successively solve  $\mathbf{r}_n \cdot \mathbf{f} = p_n$
- To do so, project onto the hyperplanes

$$\mathbf{r}_n \cdot (\mathbf{f} + \lambda \mathbf{r}_n) = p_n$$

$$\lambda = p_n - \mathbf{r}_n \cdot \mathbf{f}$$

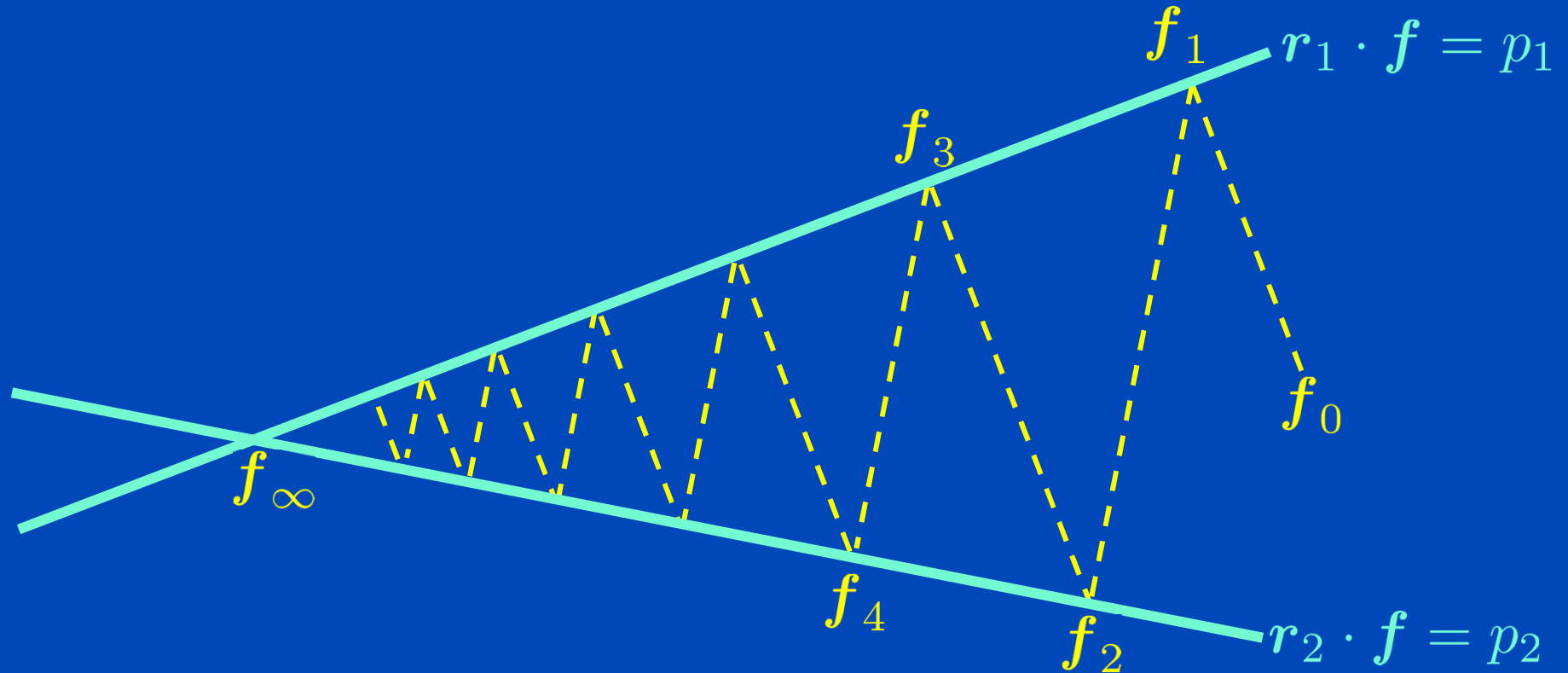
$$\mathbf{f}_{\text{new}} = \mathbf{f} + \lambda \mathbf{r}_n$$

$$\mathbf{f}_{\text{new}} = \mathbf{f} + \mathbf{r}_n (p_n - \mathbf{r}_n \cdot \mathbf{f})$$

- Repeat until some convergence criterion is reached

$$\mathbf{f}_{\nu+1} = \mathbf{f}_{\nu} + \mathbf{r}_n (p_n - \mathbf{r}_n \cdot \mathbf{f}_{\nu})$$

# Kaczmarz's Method (3)



$$f_{\nu+1} = f_\nu + r_n(p_n - r_n \cdot f_\nu)$$

# Kaczmarz in Image Reconstruction: Algebraic Reconstruction Technique (ART)

$$f_{\nu+1} = f_{\nu} + r_n(p_n - r_n \cdot f_{\nu})$$

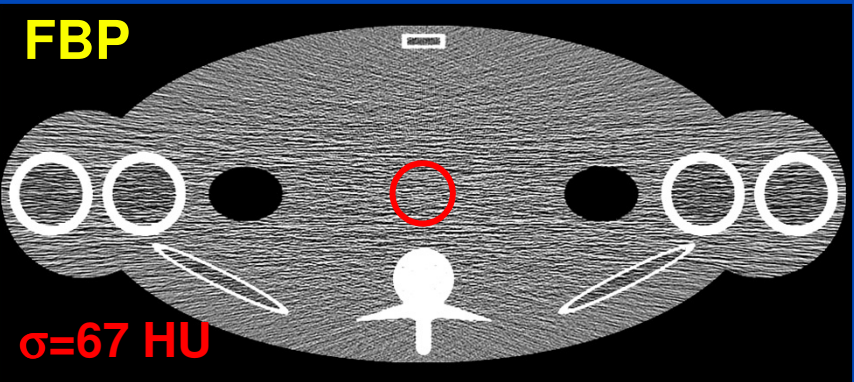
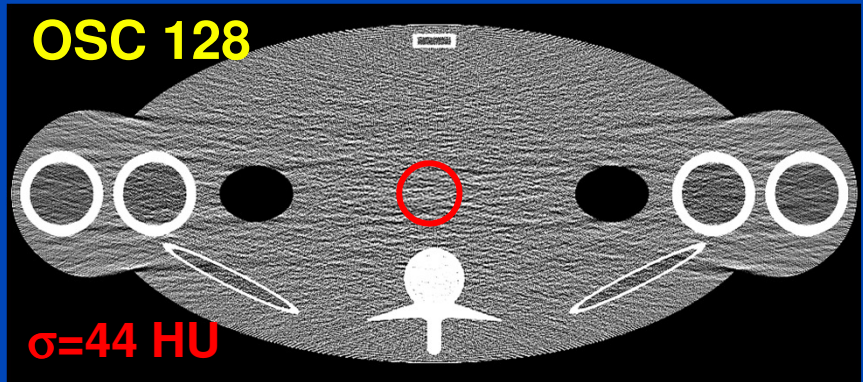
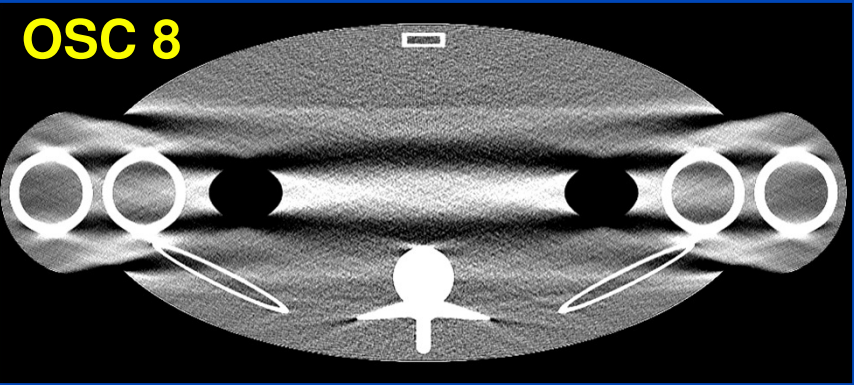
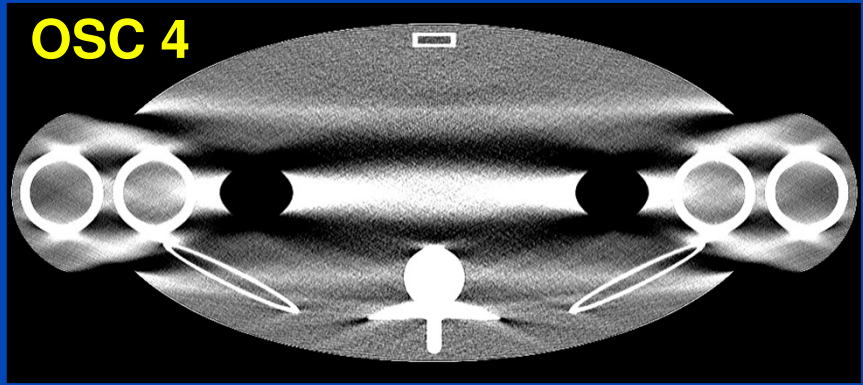
$$f_{\nu+1} = f_{\nu} + R^T \cdot \frac{p - R \cdot f_{\nu}}{R^2 \cdot \mathbf{1}}$$

# Cost Functions (and Likelihoods)

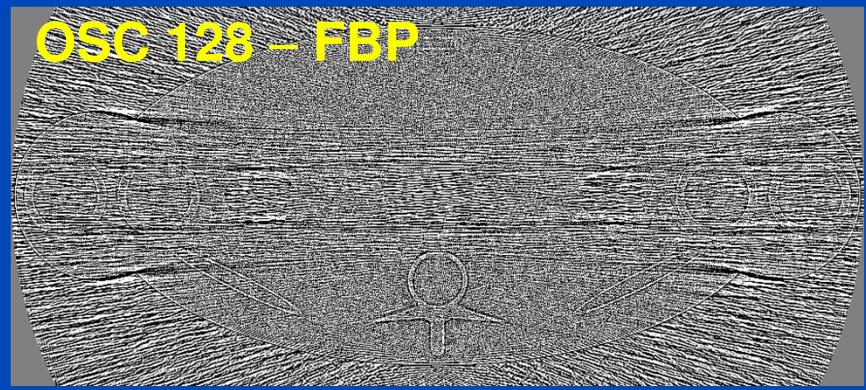
- **General expression:**  $f = \arg \min_f C(f)$
- **Examples:**  
 $C(f) = (R \cdot f - p)^2$   
 $C(f) = |R \cdot f e^{-p} + e^{-R \cdot f}|_1$
- **Incorporate penalties:**  $\hat{C}(f) = C(f) + P(f)$
- **Minimize**
  - Conjugate gradients
  - Coordinate descent
  - Ordered subsets (speedup)
  - Precondition  $f = R^T \cdot K \cdot p = R^T \cdot (k * p)$

# Flavours of Iterative Reconstruction

- ART  $f_{\nu+1} = f_{\nu} + R^T \cdot \frac{p - R \cdot f_{\nu}}{R^2 \cdot 1}$
- SART  $f_{\nu+1} = f_{\nu} + \frac{1}{R^T \cdot 1} R^T \cdot \frac{p - R \cdot f_{\nu}}{R \cdot 1}$
- MLEM  $f_{\nu+1} = f_{\nu} \frac{R^T \cdot (e^{-R \cdot f_{\nu}})}{R^T \cdot (e^{-p})}$
- OSC  $f_{\nu+1} = f_{\nu} + f_{\nu} \frac{R^T \cdot (e^{-R \cdot f_{\nu}} - e^{-p})}{R^T \cdot (e^{-R \cdot f_{\nu}} R \cdot f_{\nu})}$



(C=0, W=150)

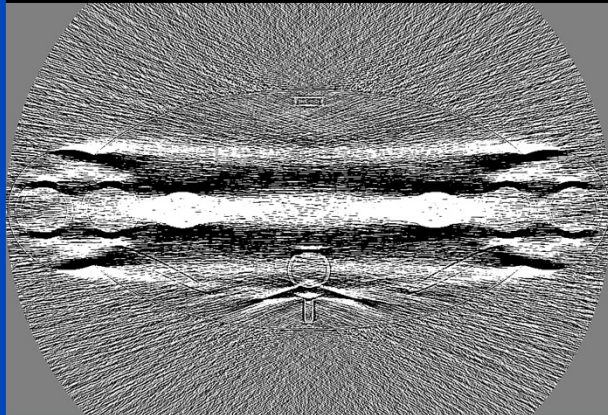
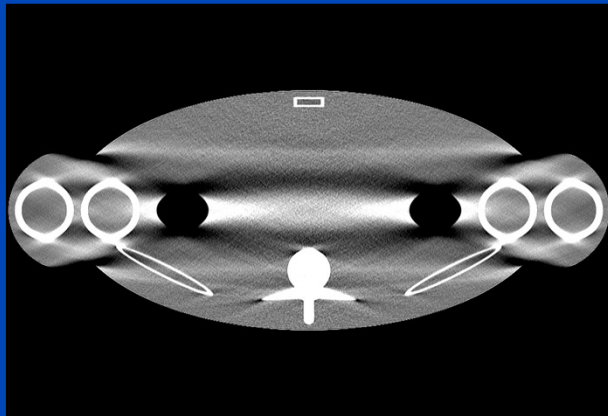


(C=0, W=100)



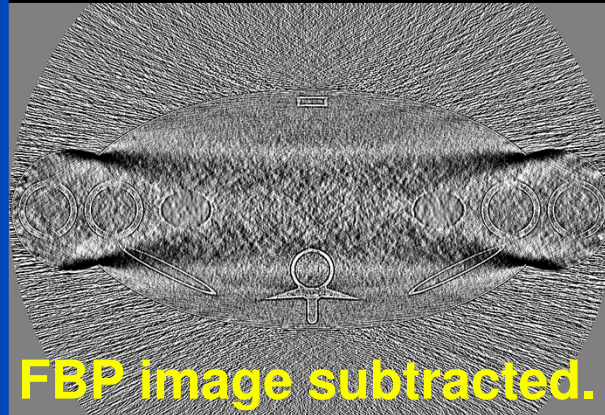
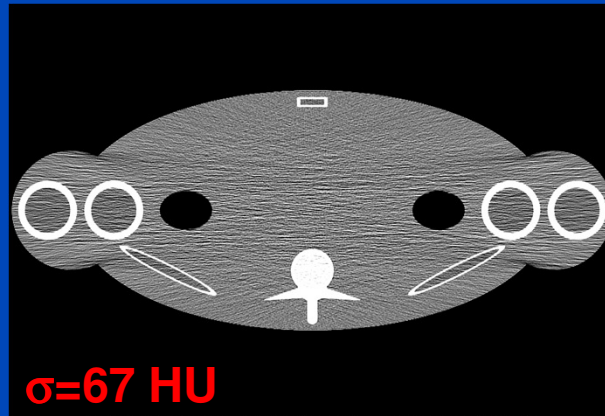
# How to Improve OSC

OSC 4, initialized with constant value



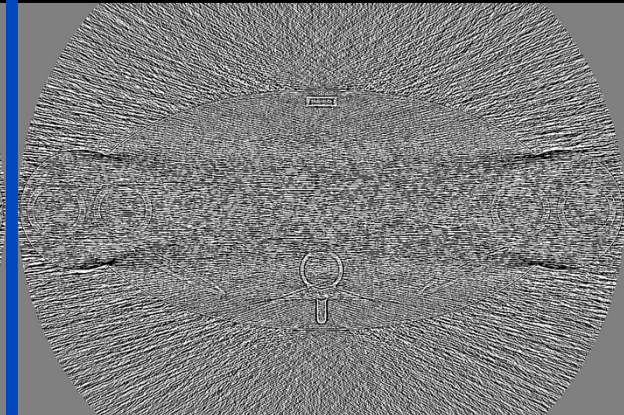
Insufficient image quality

OSC 4, initialized with matched FBP



Same noise as FBP

OSC 4, initialized with smooth FBP



50% less noise than FBP

(C=0, W=150)

(C=0, W=100)

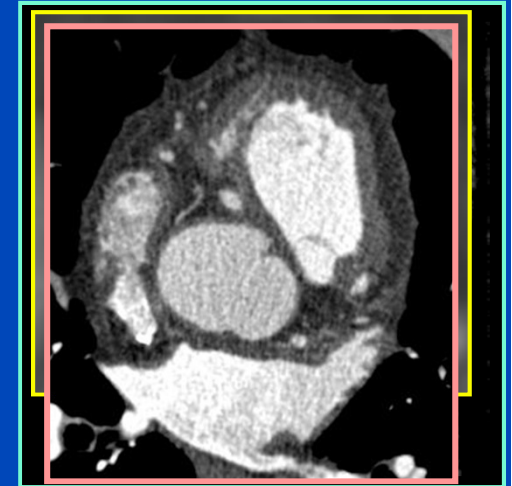


# Zwischenfazit

- **Klassische iterative Methoden**
  - zeigen Dosisvorteile vorrangig bei extrem verrauschten Daten (insbesondere in der Nuklearmedizin)
  - sind extrem langsam
  - weisen teils ungewohnte Rauschtextur auf
  - lassen kaum Kontrolle über die Ortsauflösung zu (es gibt keine Faltungskerne)
- **Klinisch relevante Lösungen**
  - erfordern empirische Ansätze (z.B. kantenerhaltende Glättung im Bildraum, Einbau von Vorwissen, ...)
  - müssen die Physik geeignet modellieren (z.B. Strahlweite, Winkelverschmierung, Strahlaufhärtung, ...)
  - sind mittels FBP-Updates zu beschleunigen

# Iterative Bildrekonstruktion

- Ziel: weniger Artefakte, weniger Rauschen, weniger Dosis
- Ablauf einer iterativen Rekonstruktion
  - Rekonstruiere ein erstes Bild.
  - Ggf. regularisiere das Bild.
  - Passt das Bild zu den gemessenen Rohdaten?
  - Solange nein, berechne ein Korrekturbild.
- Iterative Rekonstruktion wird in SPECT und PET seit vielen Jahren eingesetzt.
- In der CT verhinderte der Rechenaufwand den routinemäßigen Einsatz bisher.
- Erste CT Produktimplementierungen
  - ASIR (adaptive statistical iterative reconstruction, GE)
  - VEO, MBIR (model-based iterative reconstruction, GE)
  - AIDR (adaptive iterative dose reduction, Toshiba)
  - IRIS (image reconstruction in image space, Siemens)
  - SAFIRE (sinogram-affirmed iterative reconstruction, Siemens)



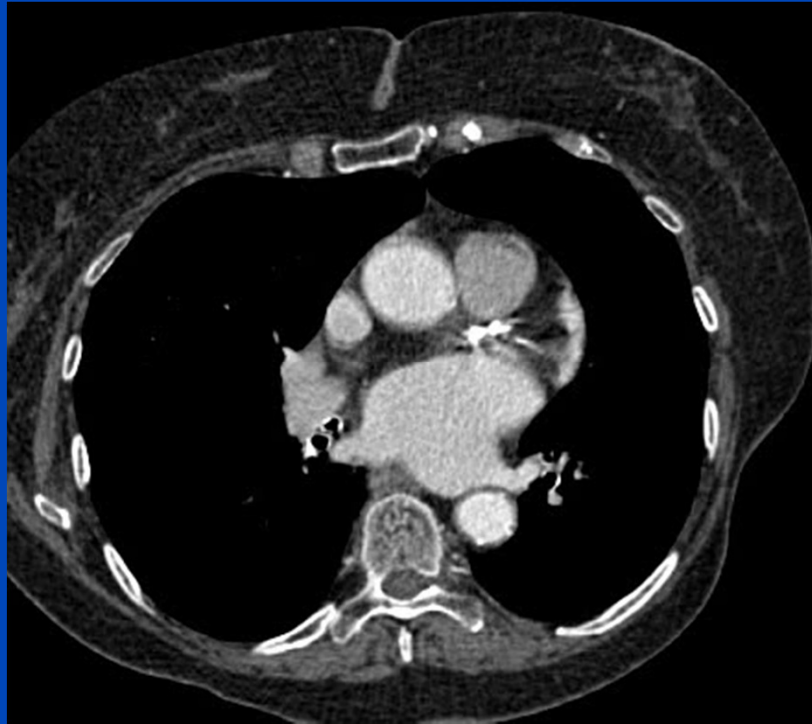
Conventional reconstruction  
at 100% dose



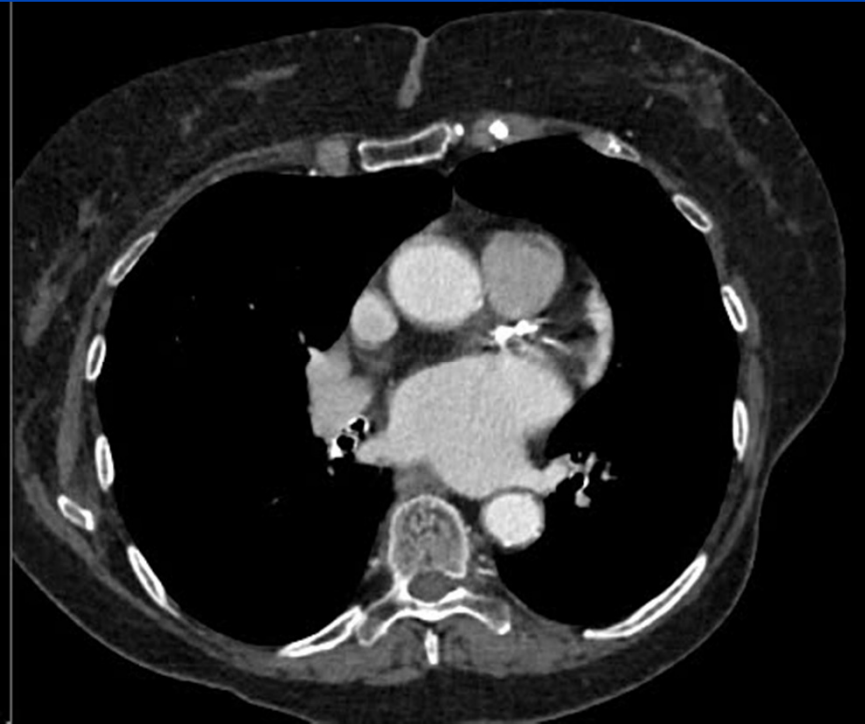
Iterative reconstruction and restoration  
at 40% dose



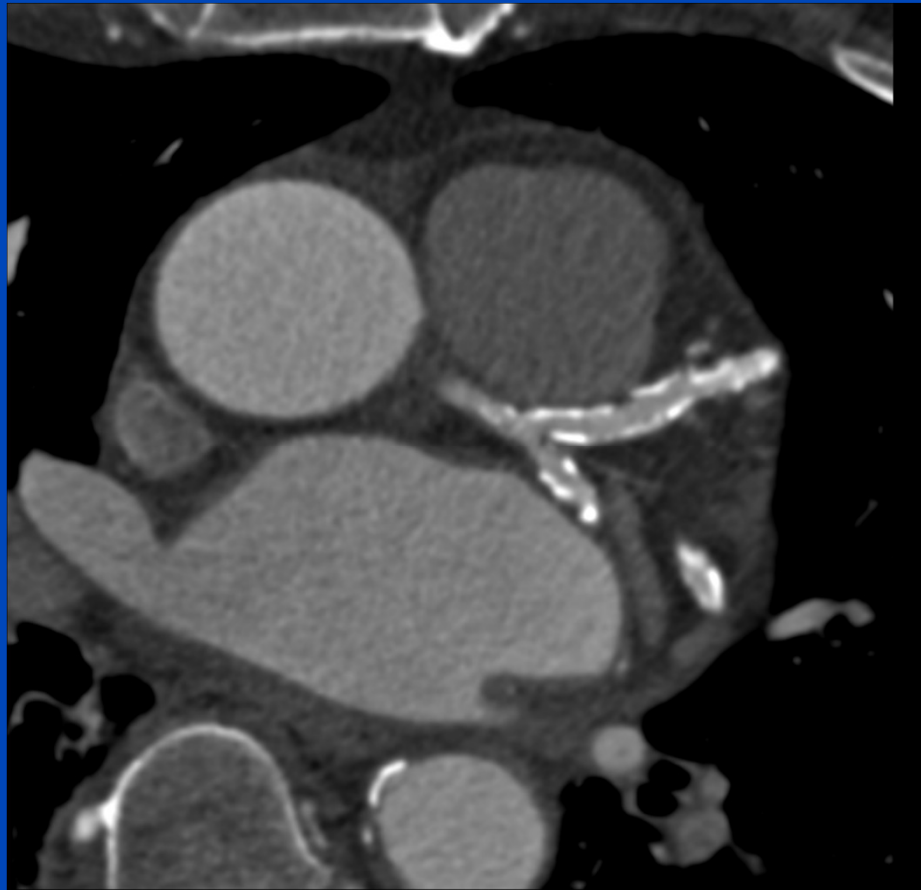
Conventional reconstruction  
at 100% dose



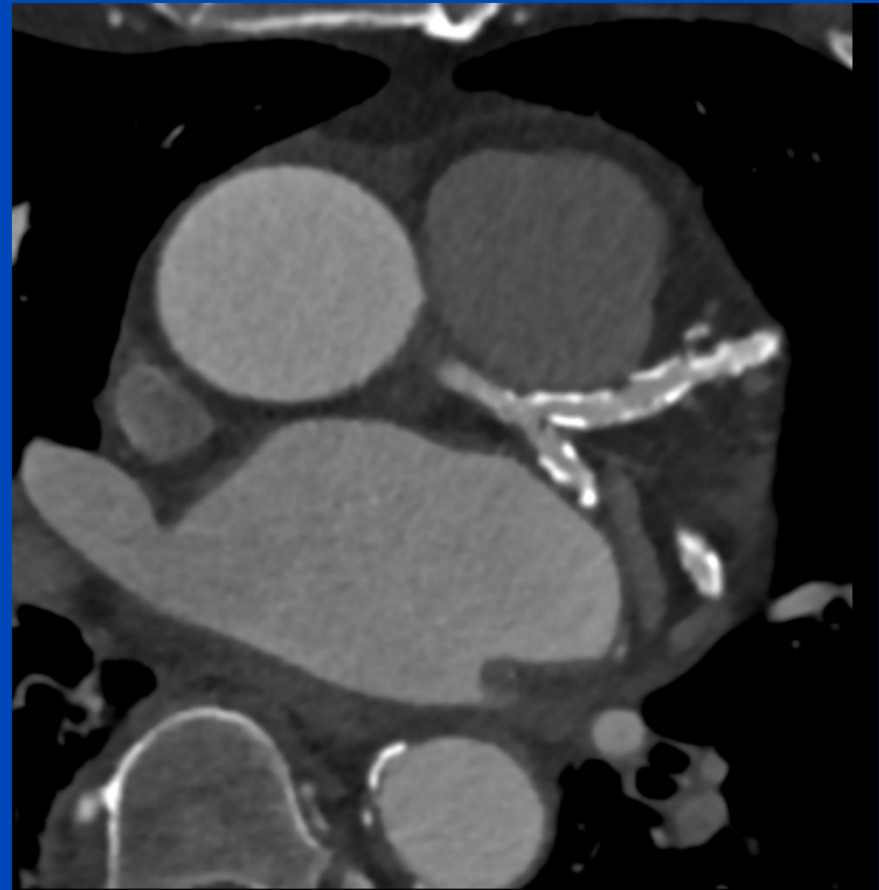
Iterative reconstruction and restoration  
at 40% dose



Conventional reconstruction  
at 100% dose



Iterative reconstruction and restoration  
at 40% dose



# Zusammenfassung

- **Klassische iterative Verfahren sind für die klinische CT kaum geeignet.**
- **Moderne iterative Verfahren basieren auf der Nutzung von Vorwissen, das sowohl im Bild- als auch im Rohdatenraum eingebracht werden kann.**
- **Alle Hersteller bieten iterative Rekonstruktion an.**
- **Dosisreduktionen um mehr als 50% werden angegeben, teils mit gleichzeitig verbesserter Ortsauflösung.**
- **Letztendlich sind die Verfahren in zahlreichen klinischen Studien zu bewerten.**
- **Bemerkungen:**
  - **Dass das Rauschen in näherungsweise homogenen Bereichen sinken und die Ortsauflösung an Kanten ansteigen kann ist offensichtlich: die iterative Rekonstruktion enthält explizit oder implizit eine kantenerhaltende Glättung.**
  - **Ob das steigende Rauschen an den Kanten und die schlechtere Ortsauflösung in näherungsweise homogenen Bereichen nachteilig für die Diagnose ist, wird sich in klinischen Studien zeigen.**
  - **Durch die iterative Rekonstruktion steigt der Informationsgehalt der Bilder nicht an; der menschliche Betrachter hingegen profitiert möglicherweise sehr wohl von der verbesserten Bildqualität.**



# Vielen Dank



[marc.kachelriess@dkfz.de](mailto:marc.kachelriess@dkfz.de)

Diese Präsentation ist in Kürze unter [www.dkfz.de/ct](http://www.dkfz.de/ct) abrufbar.